



## Synchrotronstrahlung

- Strahlung beschleunigter Teilchen
- Winkelverteilung
- Zeitstruktur
- Spektrum

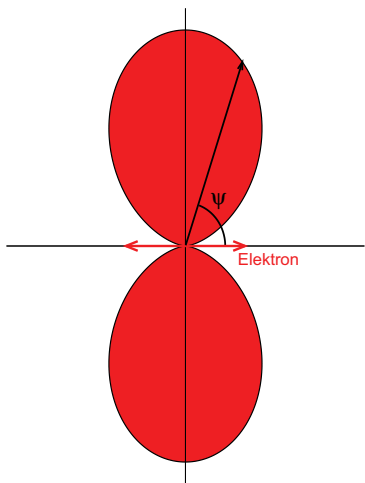
# Strahlung beschleunigter Teilchen

## Strahlung eines nichtrelativistischen, beschleunigten Teilchens

$$P = \frac{e^2}{6\pi\epsilon_0 m_0^2 c^3} \left( \frac{dp}{dt} \right)^2$$

- Winkelverteilung entspricht der eines Hertz'schen Dipol

$$\frac{dP}{d\Omega} = \frac{e^2}{16\pi^2\epsilon_0 m_0^2 c^3} \left( \frac{dp}{dt} \right)^2 \sin^2 \psi.$$



Die Energie wird dabei wie beim Herz'schen Dipol senkrecht zur Richtung der Beschleunigung abgestrahlt.

# Strahlung beschleunigter Teilchen

- relativistische Teilchen:

Transformation der Zeit und des Viererimpulses

$$dt \rightarrow d\tau = \frac{1}{\gamma} dt, \quad \gamma = \frac{E}{m_0 c^2} = \frac{1}{\sqrt{1 - \beta^2}} \quad \beta = \frac{v}{c}$$

$$\left( \frac{dP_\mu}{d\tau} \right)^2 \rightarrow \left( \frac{d\vec{p}}{d\tau} \right)^2 - \frac{1}{c^2} \left( \frac{dE}{d\tau} \right)^2$$

- Relativistische abgestrahlte Leistung

$$P = \frac{e^2 c}{6\pi\epsilon_0} \frac{1}{(m_0 c^2)^2} \left[ \left( \frac{d\vec{p}}{d\tau} \right)^2 - \frac{1}{c^2} \left( \frac{dE}{d\tau} \right)^2 \right]$$

- Lineare- Kreis-  
Beschleunigung

$$\frac{dv}{dt} \parallel \vec{v} \quad \frac{d\vec{v}}{dt} \perp \vec{v}$$

# Lineare Beschleunigung

- relativistischer Energiesatz

$$E^2 = (m_0 c^2)^2 + p^2 c^2 \Rightarrow E \frac{dE}{d\tau} = c^2 p \frac{dp}{d\tau}$$

mit  $E = \gamma m_0 c^2$  und  $p = \gamma m_0 v$

$$\frac{dE}{d\tau} = v \frac{dp}{d\tau} \quad (1)$$

- Relativistische Strahlungsformel

$$P = \frac{e^2 c}{6\pi\epsilon_0} \frac{1}{(m_0 c^2)^2} \left[ \left( \frac{d\vec{p}}{d\tau} \right)^2 - \frac{1}{c^2} \left( \frac{dE}{d\tau} \right)^2 \right]$$

und einsetzen von (1) liefert

$$(1 - \beta)^2 \left( \frac{d\vec{p}}{d\tau} \right) = \left( \frac{d\vec{p}}{\gamma d\tau} \right) = \left( \frac{d\vec{p}}{dt} \right)$$

# Lineare Beschleunigung

$$P = \frac{e^2 c}{6\pi\epsilon_0} \frac{1}{(m_0 c^2)^2} \left( \frac{d\vec{p}}{dt} \right)^2 = \frac{e^2 c}{6\pi\epsilon_0} \frac{1}{(m_0 c^2)^2} \left( \frac{d\vec{E}}{dx} \right)^2 \quad (2)$$

- Beispiel:  
Energiegewinn

$$dE/dx = 25 \text{ MeV/m} \Rightarrow P = 1.1 \cdot 10^{-16} \text{ W}$$

- Wirkungsgrad

$$\eta = \frac{P}{dE/dt} = \frac{P}{v dE/dx} = \frac{e^2}{6\pi\epsilon_0} \cdot \frac{1}{(m_0 c^2)^2} \cdot \frac{1}{\beta} \frac{dE}{dx} \approx 10^{-13}$$

- Energieverlust kann vernachlässigt werden!

# Kreisbeschleunigung

- Auf einer Kreisbahn bleibt die Teilchenenergie konstant

$$\Rightarrow \frac{dE}{dt} = 0 \Rightarrow P = \frac{e^2 c}{6\pi\epsilon_0} \frac{\gamma^2}{(m_0 c^2)^2} \left( \frac{d\vec{p}}{dt} \right)^2$$

- Impulsänderung auf der Kreisbahn

$$\frac{dp}{dt} = p\omega = p \frac{v}{R} \approx p \frac{c}{R} = \frac{E}{R}$$

- Wir betrachten nur extrem relativistische Geschwindigkeiten mit  $v \approx c$ . Dann ist  $p \cdot c \gg m_0 \cdot c^2$  und somit  $E = p \cdot c$ . Weiter ist  $\gamma = E/m_0 c^2$ .

$$P = \frac{e^2 c}{6\pi\epsilon_0} \frac{(E/m_0 c^2)^2}{(m_0 c^2)^2} \left( \frac{E}{R} \right)^2 = \frac{e^2 c}{6\pi\epsilon_0} \frac{1}{(m_0 c^2)^4} \frac{E^4}{R^2}$$

# Kreisbeschleunigung

- Auf einer Kreisbahn bleibt die Teilchenenergie konstant

$$\Rightarrow \frac{dE}{dt} = 0 \Rightarrow P = \frac{e^2 c}{6\pi\epsilon_0} \frac{\gamma^2}{(m_0 c^2)^2} \left( \frac{d\vec{p}}{dt} \right)^2$$

- Impulsänderung auf der Kreisbahn

$$\frac{dp}{dt} = p\omega = p \frac{v}{R} \approx p \frac{c}{R} = \frac{E}{R}$$

- Wir betrachten nur extrem relativistische Geschwindigkeiten mit  $v \approx c$ . Dann ist  $p \cdot c \gg m_0 \cdot c^2$  und somit  $E = p \cdot c$ . Weiter ist  $\gamma = E/m_0 c^2$ .

$$P = \frac{e^2 c}{6\pi\epsilon_0} \frac{(E/m_0 c^2)^2}{(m_0 c^2)^2} \left( \frac{E}{R} \right)^2 = \frac{e^2 c}{6\pi\epsilon_0} \frac{1}{(m_0 c^2)^4} \frac{E^4}{R^2}$$

# Kreisbeschleunigung

## Abgestrahlte Leistung

$$P = \frac{e^2 c}{6\pi\epsilon_0} \frac{1}{(m_0 c^2)^4} \frac{E^4}{R^2} \quad (3)$$

- Die abgestrahlte Leistung steigt also mit der **4. Potenz** der Teilchenenergie und des Reziprokwertes der Ruhemasse  $m_0$ !

$$\Rightarrow \left( \frac{m_{\text{Proton}}}{m_e} \right) = 1836^4 = 1.1 \cdot 10^{14}!$$

⇒ Strahlung spielt nur bei Elektronen eine Rolle



# Kreisbewegung: Energieverlust

- Gesamter Energieverlust während eines Umlaufes

$$\Delta E = \oint P dt = PT = P \frac{2\pi R}{c} = \frac{e^2}{3\epsilon_0 (m_0 c^2)^4} \frac{E^4}{R}$$

$$\Delta E[\text{keV}] = 88.5 \frac{E^4[\text{GeV}]}{R[\text{m}]}$$

# Kreisbewegung: Energieverlust

## Verlustleistung einiger Speicherringe

	L (m)	E (GeV)	R (m)	B (T)	$\Delta E$ (keV)	$\eta$ (%)
BESSY I	62.4	0.8	1.78	1.50	20.3	$2.5 \cdot 10^{-4}$
BESSY II	240	1.7	4.36		$1.6 \cdot 10^2$	$9 \cdot 10^{-3}$
DORIS II	288	5.0	12.2	1.37	$4.5 \cdot 10^3$	$9 \cdot 10^{-2}$
ESRF	844	6.0	23.4	0.855	$4.9 \cdot 10^3$	$8.2 \cdot 10^{-2}$
PETRA II	2304	23.5	195	0.40	$1.4 \cdot 10^5$	0.6
LEP II	27000	70.0	3000	0.078	$7.1 \cdot 10^5$	1.1

- Die Verlustleistung steigt stark mit der Ringenergie an und ist um Größenordnungen höher als bei einem LINAC
- Synchrotron Speicherringe können effektiv Synchrotronstrahlung erzeugen

# SR Winkelverteilung

- Wir wollen hier nur den Fall der Kreisbewegung betrachten, da nur dort nennenswert Strahlung emittiert wird.

## Skizze der Herleitung

- Im Schwerpunktsystem des Elektrons entspricht die Emission der des Herz'schen Dipol
- Transformation dieser Verteilung in das Laborsystem
- Einfache Abschätzung  
Ein Photon möge in  $y'$ -Richtung senkrecht zur Bewegungsrichtung  $x'$  und zur Beschleunigung in  $z'$ -Richtung emittiert werden.

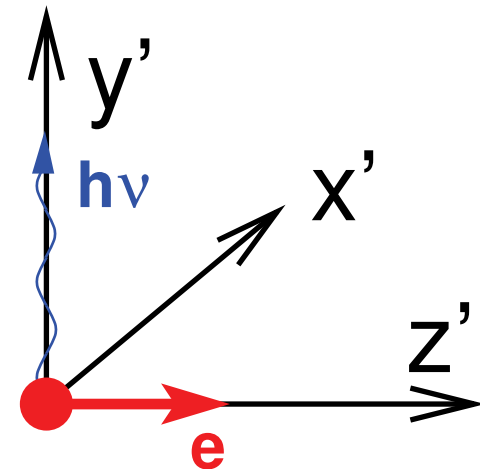
# SR Winkelverteilung

- Ein Photon möge in  $y'$ -Richtung senkrecht zur Bewegungsrichtung  $z'$  und zur Beschleunigung in  $x'$ -Richtung emittiert werden.

$$p'_y = p'_0 = \frac{E'}{c}$$

- Viererimpuls

$$P'_{\mu} = \begin{pmatrix} p'_t \\ p'_x \\ p'_y \\ p'_z \end{pmatrix} = \begin{pmatrix} E'/c \\ 0 \\ p'_0 \\ 0 \end{pmatrix}$$



# SR Winkelverteilung

## Lorentztransformation ins Laborsystem

$$P_{\mu} = \begin{pmatrix} \gamma & 0 & 0 & \beta\gamma \\ 0 & 1 & 0 & 0 \\ 0 & 0 & 1 & 0 \\ \beta\gamma & 0 & 0 & \gamma \end{pmatrix} \times \begin{pmatrix} E'/c \\ 0 \\ p'_0 \\ 0 \end{pmatrix} = \begin{pmatrix} \gamma E'/c \\ 0 \\ p'_0 \\ \gamma\beta E'/c \end{pmatrix} = \begin{pmatrix} \gamma E'/c \\ 0 \\ p'_0 \\ \gamma\beta p'_0 \end{pmatrix}$$

$$\beta = \frac{v}{c} \quad \gamma = \left(1 - \beta^2\right)^{-1/2}$$

## Winkel zwischen der y-Richtung und der z-Richtung (Flugrichtung)

$$\tan \theta = \frac{p_y}{p_z} = \frac{p'_0}{\beta\gamma p'_0} \approx \frac{1}{\gamma}$$

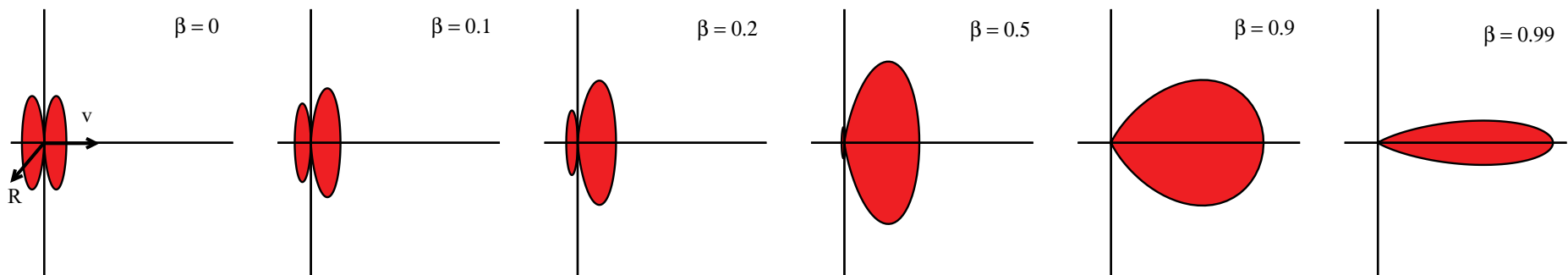
# SR Winkelverteilung

Emittierte Strahlungsleistung in den Raumwinkel  $d\Omega$

$$\frac{dP(t)}{d\Omega} = \frac{e^2}{4\pi c} \frac{\dot{\beta}^2}{(1 - \beta \cos \theta)^3} \left( 1 - \frac{\sin^2 \theta \cos^2 \phi}{\gamma^2 (1 - \beta \cos \theta)^2} \right)$$

(Jackson)

- Scharfe Bündelung der Strahlung in Vorwärtsrichtung



Kreisbewegung (transversale Beschleunigung)

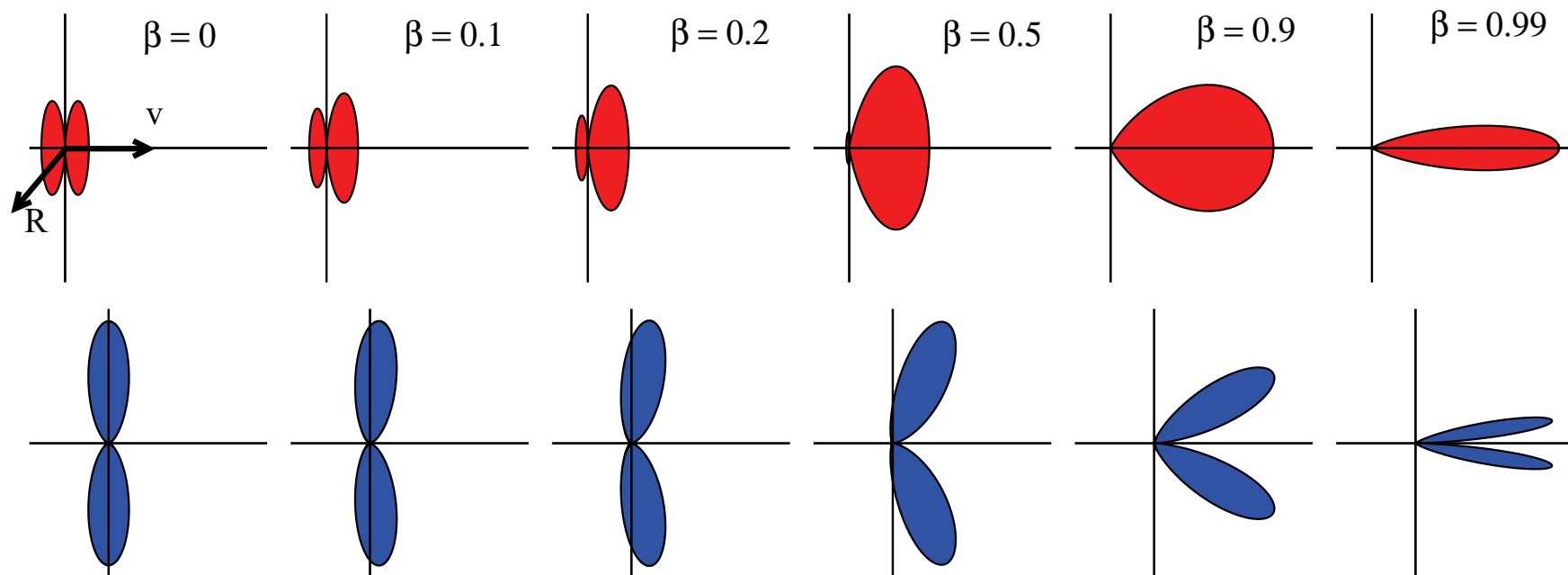
# SR Winkelverteilung

- transversal

$$\frac{dP(t)}{d\Omega} = \frac{e^2}{4\pi c} \frac{(d\beta/dt)^2}{(1 - \beta \cos \theta)^3} \left( 1 - \frac{\sin^2 \theta \cos^2 \phi}{\gamma^2 (1 - \beta \cos \theta)^2} \right)$$

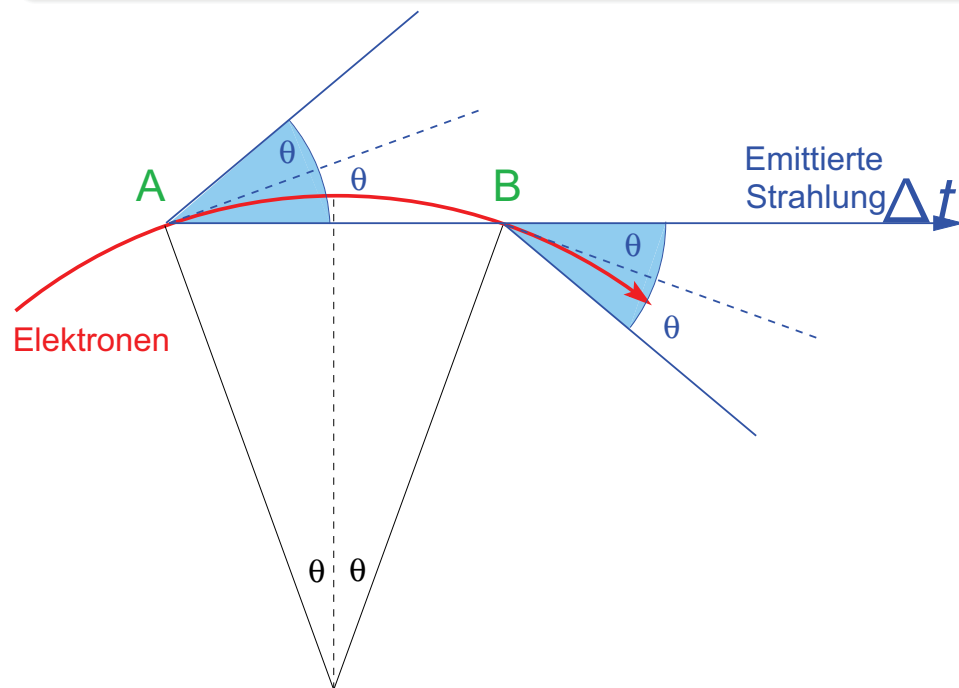
- longitudinal

$$\frac{dP(t)}{d\Omega} = \frac{e^2}{4\pi c} \frac{\sin^2 \theta}{(1 - \beta \sin \theta)^5} \cdot \left( \frac{d\beta}{dt} \right)^2$$



# SR Zeitstruktur

“Vorbeiflug” eines Elektrons am Beobachter  $\theta \approx 1/\gamma \Rightarrow$



$$\begin{aligned}
 &= t_e - t_\gamma = \frac{2R\theta}{c\beta} - \frac{2R\sin\theta}{c} \\
 &= \frac{2R}{c} \left( \frac{\theta}{\beta} - \theta + \frac{\theta^3}{3!} - \frac{\theta^5}{5!} + \dots \right) \\
 &\approx \frac{2R}{c} \left( \frac{1}{\beta\gamma} - \frac{1}{\gamma} + \frac{1}{6\gamma^3} \right) \approx \frac{4R}{3c\gamma^3}
 \end{aligned}$$

## Typische Frequenz

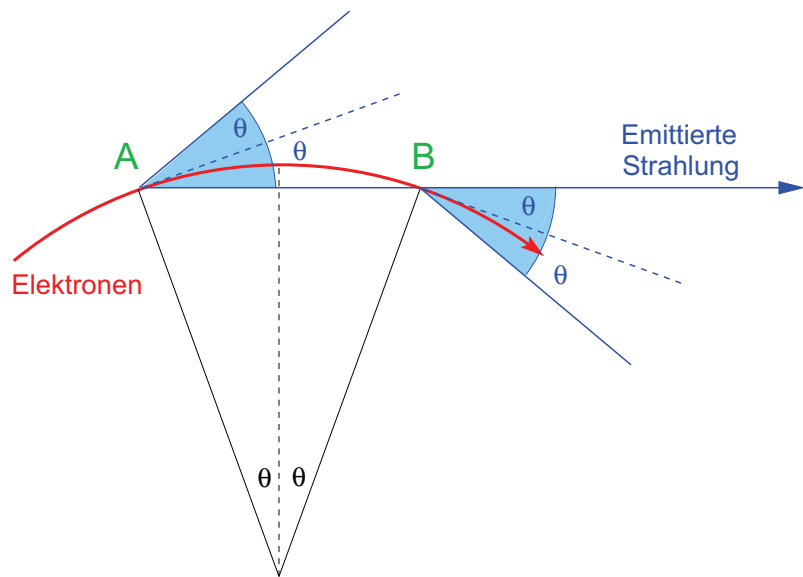
$$\omega_{\text{typ}} := \frac{2\pi}{\Delta t} = \frac{3\pi c\gamma^3}{2R}$$

## Kritische Frequenz

$$\omega_c := \frac{\omega_{\text{typ}}}{\pi} = \frac{3c\gamma^3}{2R}$$



## SR Zeitstruktur



$E$ (GeV)	$\gamma$	$R$ (m)	$\Delta t$ ( $10^{-18}s$ )	$E_c$ (eV)
0.8	1566	1.8	2.1	631
1.7	3327	4.36	0.48	2725
6.0	11742	23.4	0.0064	20500

# SR Spektrum

- Emittierte Strahlungsleistung in den Raumwinkel  $d\Omega$  war

$$\frac{dP(t)}{d\Omega} = \frac{e^2}{4\pi c} \frac{\dot{\beta}^2}{(1 - \beta \cos \theta)^3} \left( 1 - \frac{\sin^2 \theta \cos^2 \phi}{\gamma^2 (1 - \beta \cos \theta)^2} \right)$$

- Das abgestrahlte Spektrum kann durch eine Fouriertransformation des Zeitspektrum berechnet werden. Elementar, aber doch sehr aufwendig (siehe z.B. Jackson)!

# SR Spektrum

- Emittierte Strahlungsleistung in den Raumwinkel  $d\Omega$  war

$$\frac{dP(t)}{d\Omega} = \frac{e^2}{4\pi c} \frac{\dot{\beta}^2}{(1 - \beta \cos \theta)^3} \left( 1 - \frac{\sin^2 \theta \cos^2 \phi}{\gamma^2 (1 - \beta \cos \theta)^2} \right)$$

PHYSICAL REVIEW

VOLUME 75, NUMBER 12

JUNE 15, 1949

## On the Classical Radiation of Accelerated Electrons

JULIAN SCHWINGER

*Harvard University, Cambridge, Massachusetts*

(Received March 8, 1949)

This paper is concerned with the properties of the radiation from a high energy accelerated electron, as recently observed in the General Electric synchrotron. An elementary derivation of the total rate of radiation is first presented, based on Larmor's formula for a slowly moving electron, and arguments of relativistic invariance. We then construct an expression for the instantaneous power radiated by an electron moving along an arbitrary, prescribed path. By casting this result

tion of motion is a strongly preferred direction of emission at high energies. The spectral distribution of the radiation depends upon the detailed motion over a time interval large compared to the period of the radiation. However, the narrow cone of radiation generated by an energetic electron indicates that only a small part of the trajectory is effective in producing radiation observed in a given direction, which also implies that very high frequencies are emitted. Accordingly, we

# SR Spektrum

- Spektrale Photonendichte, mit  $N$  Elektronen im Speicherring (Schwinger<sup>1</sup>)

$$\frac{d\dot{N}}{d\epsilon/\epsilon} = \frac{P_0}{E_c} \cdot S_s \left( \frac{E}{E_c} \right)$$

mit

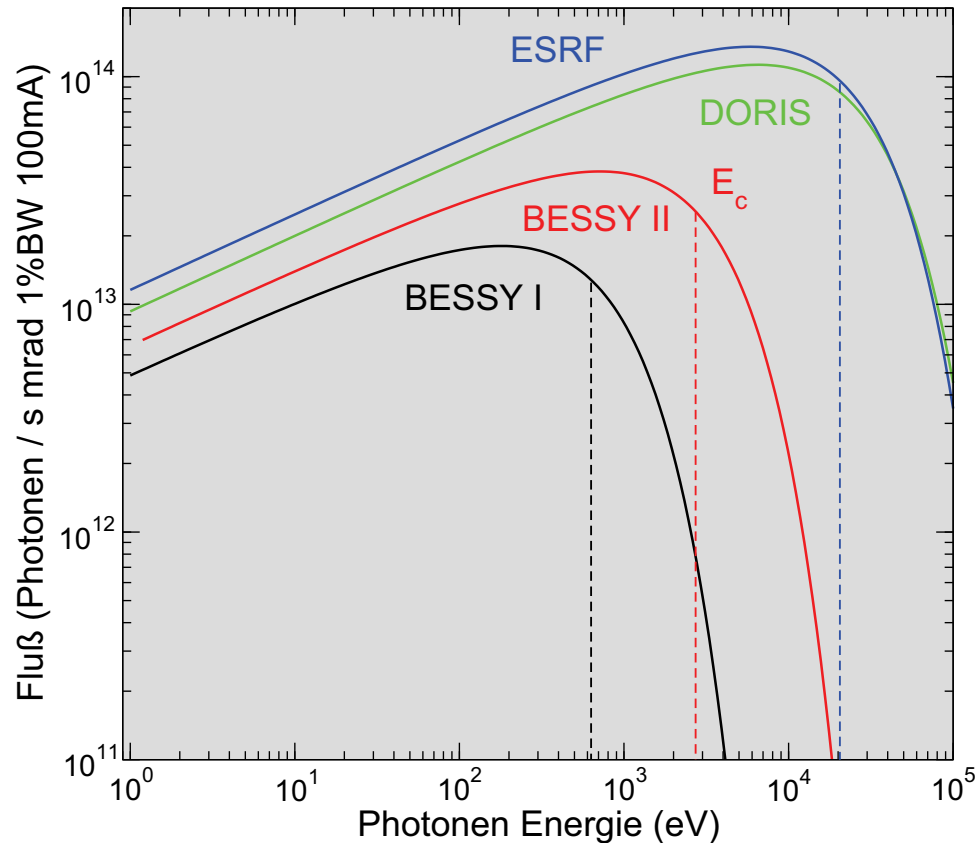
$$P_0 = \frac{e^2 c}{6\pi\epsilon_0} \frac{1}{(m_0 c^2)^4} \frac{E^4}{R^2} N = \frac{e\gamma^4}{3\epsilon_0 R} I_{Ring}$$

$$S_s(\xi) = \frac{9\sqrt{3}}{8\pi} \cdot \xi \cdot \int_{\xi}^{\infty} K_{5/3}(\xi) d\xi$$

$K_{5/3}$ : modifizierte Besselfunktion

<sup>1</sup>J. Schwinger, Phys. Rev. **75** 1912-1925 (1949)

# SR Spektrum



- Strahlungsquelle, die einen sehr weiten Bereich abdeckt.

- 

$$\int_0^1 S_s(\xi) d\xi = \frac{1}{2}$$

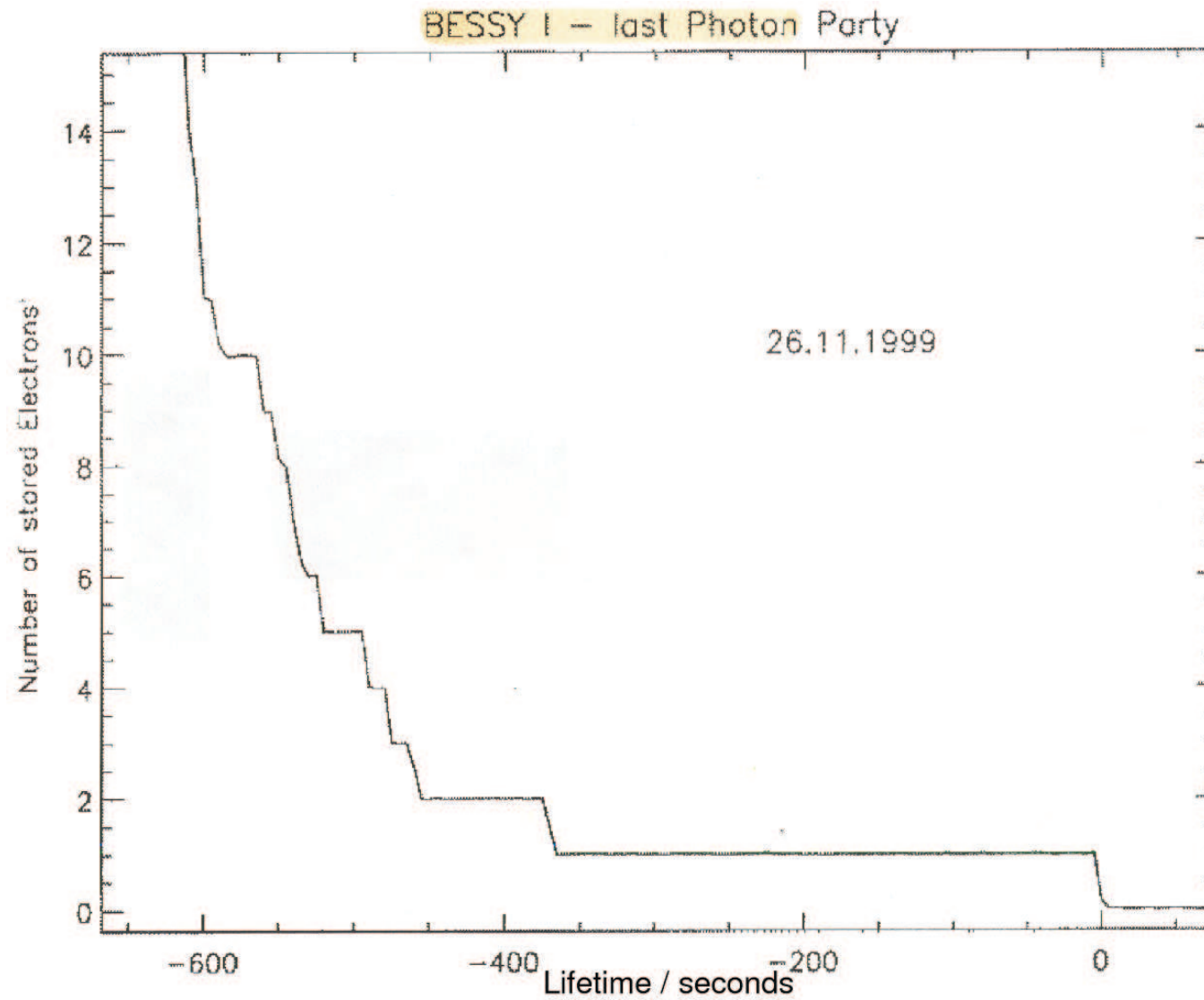
- ⇒  $E_c$  teilt das Spektrum der Synchrotronstrahlung in zwei Bereiche gleicher Strahlungsleistung

- Spektrum ist exakt berechenbar

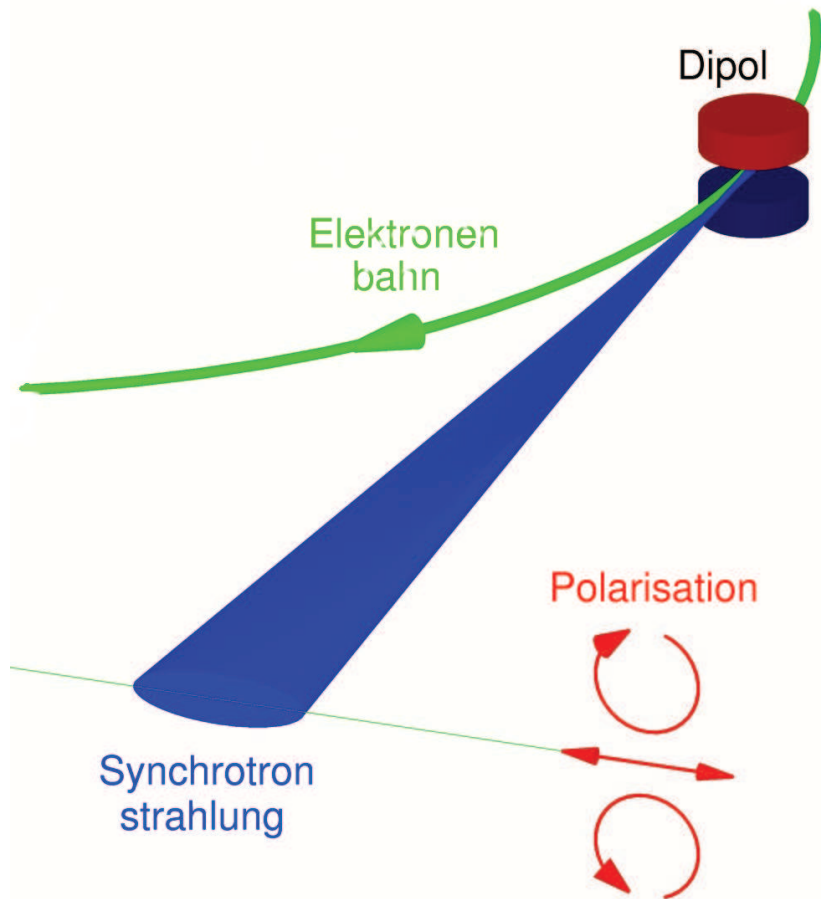
⇒ **Primär Normal!**

- Zählen einzelner Elektronen möglich (Anwendung in der Metrologie)

# SR einzelner Elektronen



# SR Polarisation



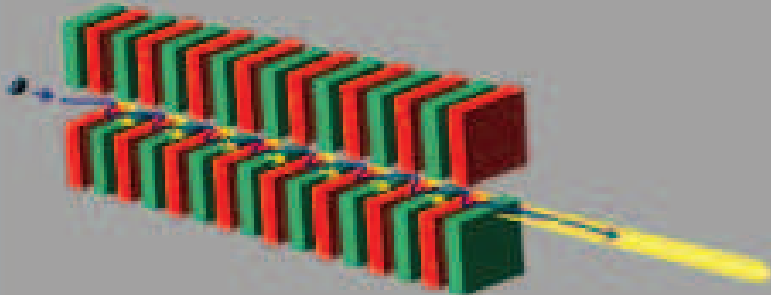
- Synchrotronstrahlung ist in der Bahnebene linear polarisiert
- Ausserhalb der Bahnebene ist die Strahlung zirkular polarisiert, mit allerdings stark abnehmender Intensität, durch die starke Bündelung in Vorwärtsrichtung
- Kann als Projektion der Kreisbahn verstanden werden
- Eigenschaft hat eine ganze Gruppe von neuen Experimenten zum Magnetismus eröffnet

# Take Home Message – Synchrotronstrahlung

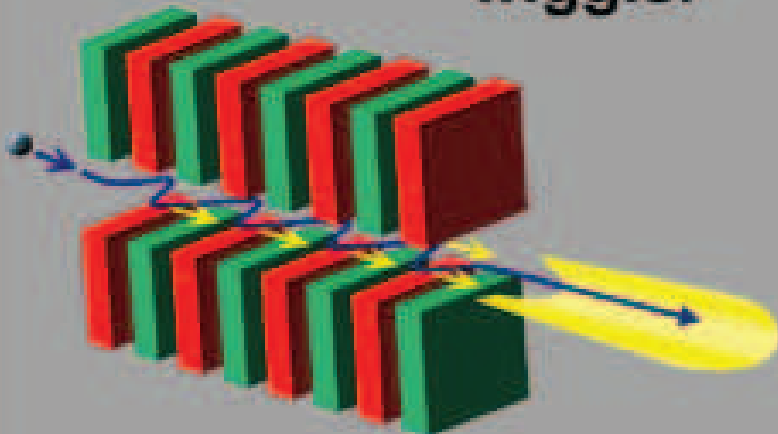
- Synchrotronstrahlung wird von beschleunigten, hochrelativistischen Teilchen abgestrahlt.
- Abstrahlung spielt nur bei der Kreisbeschleunigung eine Rolle.
- Für die abgestrahlte SR Leistung gilt  $P \propto (m_0 c^2)^{-4} E^4 / R^2$ .
- Abstrahlung bei Elektronen ist  $1836^4 \approx 10^{14}$  stärker als für Protonen.
- Starke Vorwärtsrichtung der SR mit Öffnungswinkel  $\theta \cong 1/\gamma$ .
- Sehr breite spektrale Verteilung der SR vom Infrarot bis in den harten Röntgenbereich.
- Kritische Energie  $E_c$  teilt Spektrum in Bereiche gleicher integraler Strahlungsleistung.



## undulator



## wiggler



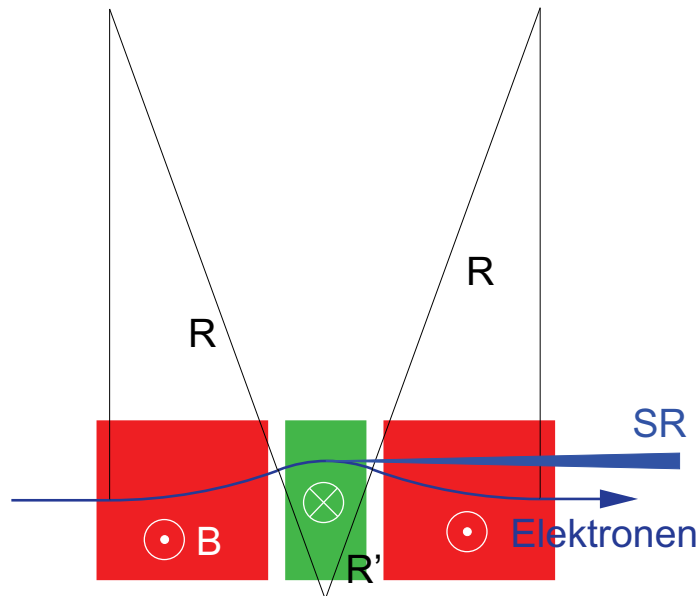
## Insertion Devices

- Wavelength-Shifter
- Das Wiggler/Undulator Feld
- Bewegungsgleichung
- Undulator Strahlung
- Eigenschaften
- Polarisation

# Wellenlängenschieber

- In einem Speicherring gilt für die kritische Energie

$$E_c \propto 1/R$$



- $R$ : Radius in den Dipolmagneten  
 $R$  kann nicht einfach verändert werden
- In einer einfachen 3-Pol Struktur kann der Ablenkradius in einem Segment durch ein entsprechend starkes Magnetfeld  $\vec{B}$  der effektive Radius  $R'$  verkleinert werden

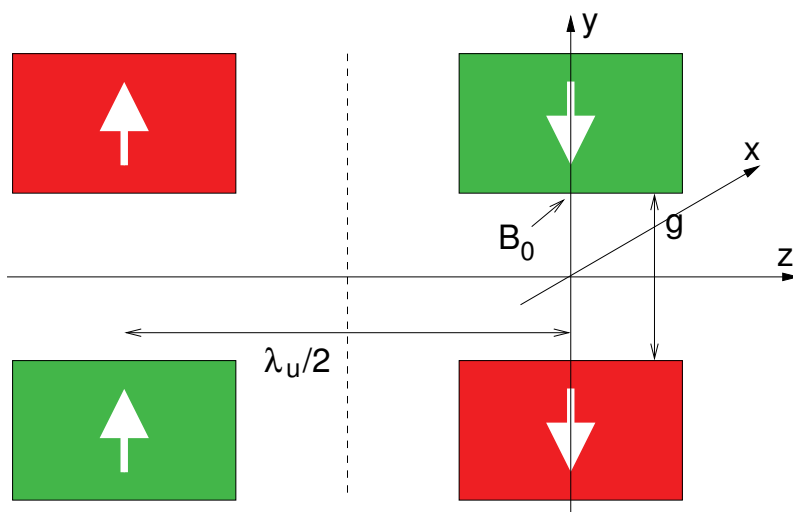
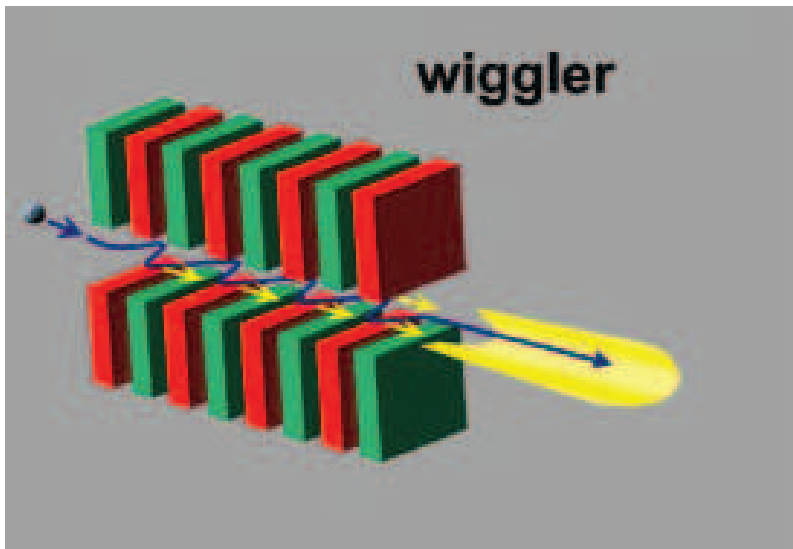
⇒ Höhere Photonenenergien sind möglich

- Abstrahlcharakteristik wie ein Dipol
- Um entsprechend hohe Magnetfelder von einigen Tesla erreichen zu können sind **supraleitende Magnete** erforderlich

# Wiggler

Periodische Magnetfeldanordnung mit der Periode  $\lambda_u$  und  $N$  Polen

- Potential entlang der Strahlachse



$$\phi(z, y) = f(y) \cos \frac{2\pi}{\lambda_u} z$$

Laplace-Gleichung

$$\nabla^2 \phi(z, y) = 0$$

$$\Rightarrow \frac{d^2 f(y)}{dy^2} - f(y) \left( \frac{2\pi}{\lambda_u} \right)^2 = 0$$

$$\Rightarrow f(y) = A \cdot \sinh\left(\frac{2\pi}{\lambda_u} y\right)$$

$$\text{mit } A = \frac{B_0}{\frac{2\pi}{\lambda_u} \cosh\left(\pi \frac{g}{\lambda_u}\right)}$$

# Wiggler / Undulator Feld

- $B$ -Feld Komponente auf der Achse

$$B_y(z, y) = \frac{\partial \phi}{\partial y} = \frac{2\pi}{\lambda_u} A \cosh \frac{2\pi}{\lambda_u} y \cdot \cos \frac{2\pi}{\lambda_u} z$$

- Strahlachse  $y = 0$

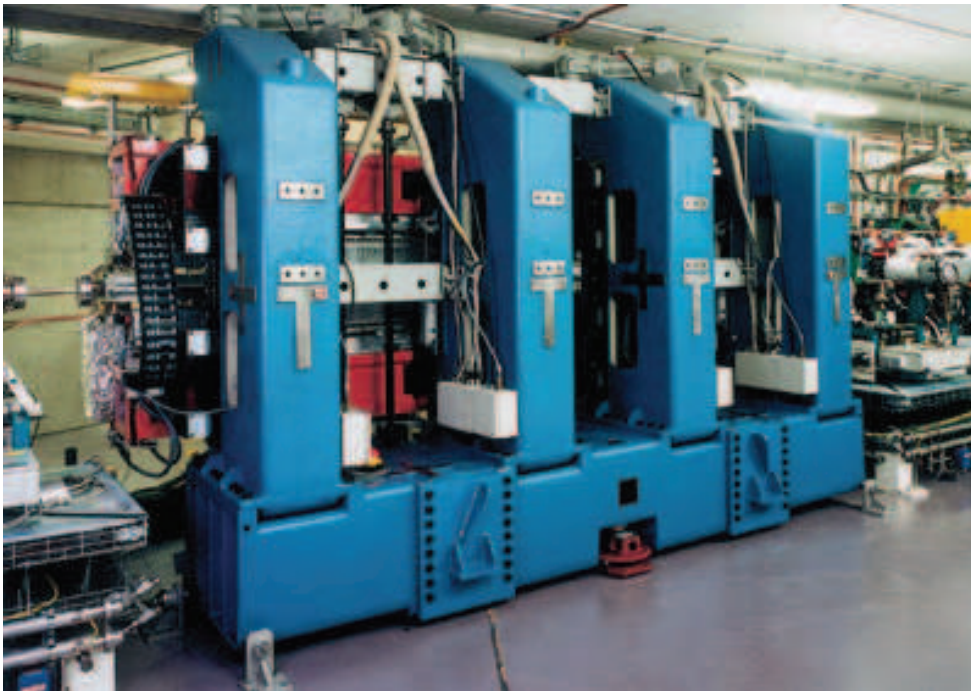
$$\bar{B} = \frac{B_0}{\cosh \pi \frac{g}{\lambda_u}}$$

$$B_y(z) = \bar{B} \cos \frac{2\pi}{\lambda_u} z$$

- Durch Variation des Polabstandes  $g$  (Gap) kann das Magnetfeld  $B_y(z)$  auf der Strahlachse definiert variiert werden
- Realisierung von Wigglern / Undulatoren
  - Großes  $\lambda_u$  ( $> 20 \text{ cm}$ ): Elektromagnete,  $g$  fest
  - Kleines  $\lambda_u$ : Permanentmagnete,  $g$  variable ( $g \geq 15 \text{ mm}$ )

# Undulatoren

- Frequenz der emittierten Strahlung (in 0. Ordnung):  
relativistische Längenkontraktion der Period  $\lambda_u$



# Undulator Bewegungsgleichung

- Bewegung im Undulatorfeld

$$\frac{d\vec{p}}{dt} = q(\vec{E} + \vec{v} \times \vec{B})$$

- Annahmen

- Im Wiggler/Undulator ist  $\vec{E} \approx 0$ , was sich im Fall von langen Undulatoren (FEL) ändert!
- $\vec{v} \approx v_z \vec{e}_z$

- Bewegung in x-Richtung

$$\begin{aligned} m_0 \gamma \frac{dv_x}{dt} &= ev_z B_y(z) \\ &= e \frac{dz}{dt} \bar{B} \cos \frac{2\pi}{\lambda_u} z \end{aligned}$$

- Integration

# Undulator

## Bewegung in $x$ -Richtung

$$m_0 \gamma v_x = \frac{e \bar{B} \lambda_u}{2\pi} \sin \frac{2\pi}{\lambda_u} z$$

### Beachte:

$z$  ist nicht linear in der Zeit, da  $v_z$  selbst von  $t$  abhängt. Die Bewegung in  $x$  Richtung ist also keine reine harmonische Schwingung  $\Rightarrow$  Höhere Harmonische

# Undulator Parameter

- Bewegung in x-Richtung

$$m_0 \gamma v_x = \frac{e \bar{B} \lambda_u}{2\pi} \sin \frac{2\pi}{\lambda_u} z$$

$$\Rightarrow v_x = \frac{e \bar{B} \lambda_u c}{2\pi m_0 \gamma c} \sin \frac{2\pi}{\lambda_u} z$$

$$v_x = \frac{K c}{\gamma} \sin \frac{2\pi}{\lambda_u} z$$

$$\text{mit } K := \frac{e \bar{B} \lambda_u}{2\pi m_0 c}$$

## Undulator Parameter $K$

- $v_z \approx c \Rightarrow$

$$\tan \theta_e(z) \approx \theta_e(z) = \frac{v_x}{v_z} \approx \frac{K}{\gamma} \sin \frac{2\pi}{\lambda_u} z \Rightarrow |\theta_{e,max}| \approx \frac{K}{\gamma}$$



# Undulator Parameter

- Bewegung in x-Richtung

$$m_0 \gamma v_x = \frac{e \bar{B} \lambda_u}{2\pi} \sin \frac{2\pi}{\lambda_u} z$$

$$\Rightarrow v_x = \frac{e \bar{B} \lambda_u c}{2\pi m_0 \gamma c} \sin \frac{2\pi}{\lambda_u} z$$

$$v_x = \frac{K c}{\gamma} \sin \frac{2\pi}{\lambda_u} z$$

$$\text{mit } K := \frac{e \bar{B} \lambda_u}{2\pi m_0 c}$$

## Undulator Parameter $K$

- $v_z \approx c \Rightarrow$

$$\tan \theta_e(z) \approx \theta_e(z) = \frac{v_x}{v_z} \approx \frac{K}{\gamma} \sin \frac{2\pi}{\lambda_u} z \Rightarrow |\theta_{e,max}| \approx \frac{K}{\gamma}$$

# Undulator Parameter

Charakteristischer Abstrahlwinkel der SR:  $\theta = 1/\gamma$ ,  $\theta_e = K/\gamma$

## $K \leq 1$ Undulator

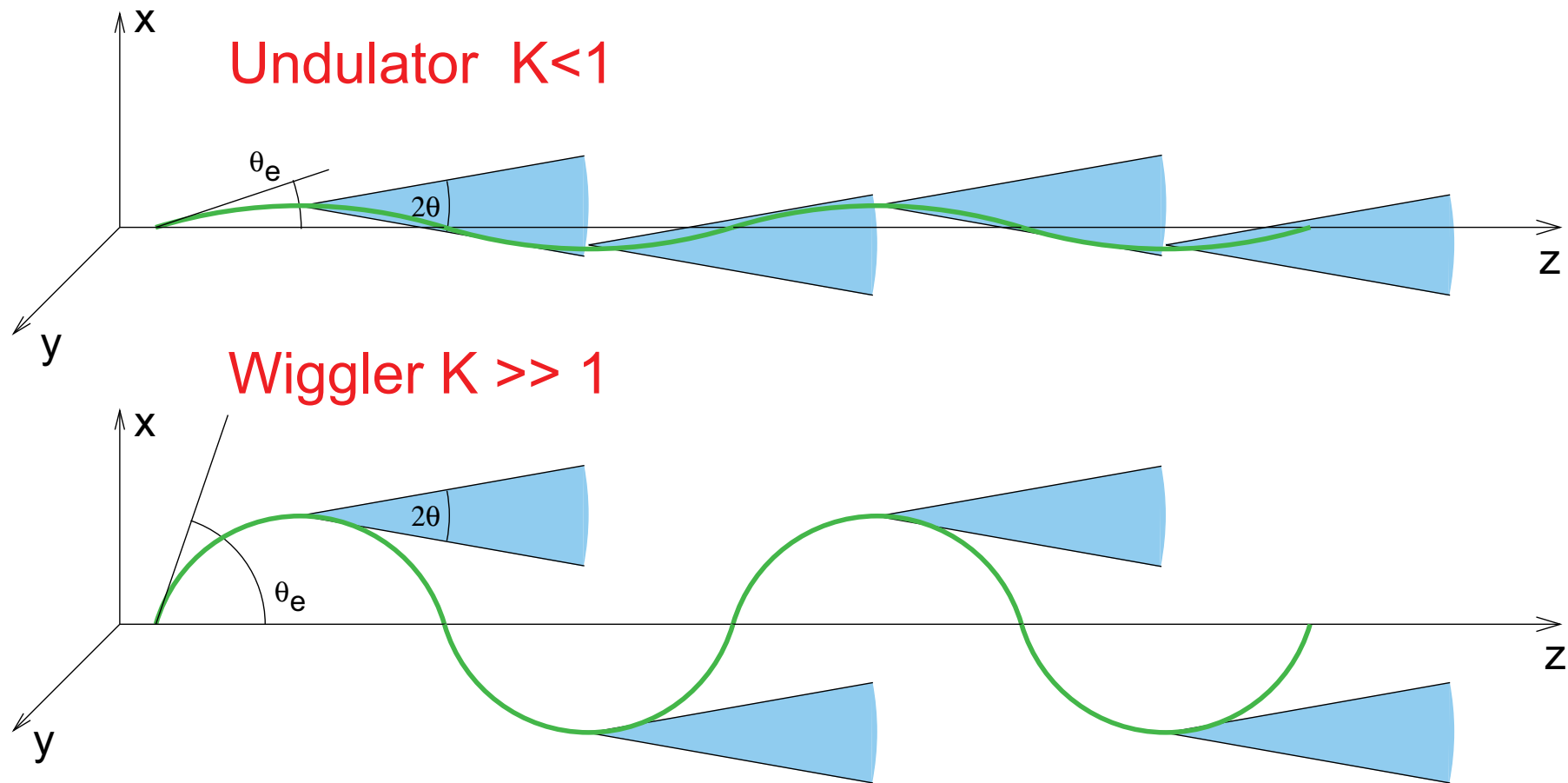
Abstrahlkegel der einzelnen Magnetpole überlappen  $\rightarrow$  **kohärente** Überlagerung  $\rightarrow$  Interferenzeffekte

## $K \gg 1$ Wiggler

Abstrahlkegel der einzelnen Magnetpole überlappen nicht  $\rightarrow$  **Nicht kohärente** Überlagerung  $\rightarrow$  Emittierte Strahlung entspricht weitgehend der eines Dipols, aber mit  $2 \cdot N$  facher Intensität.

Verschiebung der kritischen Energie  $E_c$  abhängig von  $\bar{B}$ .

# Undulator Parameter



# Undulator: z-Richtung

- Energie ist im  $B$ -Feld konstant  $\Rightarrow \gamma = \text{const.}$

$$\gamma = \left(1 - \frac{v^2}{c^2}\right)^{-1/2} = \left(1 - \frac{v_x^2 + v_z^2}{c^2}\right)^{-1/2}$$

$$\Rightarrow \frac{v_z^2}{c^2} = 1 - \frac{1}{\gamma^2} - \frac{v_x^2}{c^2} = 1 - \frac{1}{\gamma^2} - \frac{K^2}{\gamma^2} \sin^2 \frac{2\pi}{\lambda_u} z$$

- $K/\gamma \ll 1$ ,  $\sin^2 x = \frac{1}{2}(1 - \cos 2x)$ :

$$\frac{v_z}{c} = 1 - \frac{1}{2\gamma^2} - \frac{K^2}{2\gamma^2} \sin^2 \frac{2\pi}{\lambda_u} z$$

$$= 1 - \frac{1 + K^2/2}{2\gamma^2} + \frac{K^2}{4\gamma^2} \cos 2\frac{2\pi}{\lambda_u} z$$

$$\frac{v_x}{c} = \frac{K}{\gamma} \sin \frac{2\pi}{\lambda_u} z$$

# Undulator: z-Richtung

- Energie ist im  $B$ -Feld konstant  $\Rightarrow \gamma = \text{const.}$

$$\gamma = \left(1 - \frac{v^2}{c^2}\right)^{-1/2} = \left(1 - \frac{v_x^2 + v_z^2}{c^2}\right)^{-1/2}$$

$$\Rightarrow \frac{v_z^2}{c^2} = 1 - \frac{1}{\gamma^2} - \frac{v_x^2}{c^2} = 1 - \frac{1}{\gamma^2} - \frac{K^2}{\gamma^2} \sin^2 \frac{2\pi}{\lambda_u} z$$

- $K/\gamma \ll 1$ ,  $\sin^2 x = \frac{1}{2}(1 - \cos 2x)$ :

$$\begin{aligned} \frac{v_z}{c} &= 1 - \frac{1}{2\gamma^2} - \frac{K^2}{2\gamma^2} \sin^2 \frac{2\pi}{\lambda_u} z \\ &= 1 - \frac{1 + K^2/2}{2\gamma^2} + \frac{K^2}{4\gamma^2} \cos 2\frac{2\pi}{\lambda_u} z \\ \frac{v_x}{c} &= \frac{K}{\gamma} \sin \frac{2\pi}{\lambda_u} z \end{aligned}$$

# Undulator: z-Richtung

- Energie ist im  $B$ -Feld konstant  $\Rightarrow \gamma = \text{const.}$

$$\gamma = \left(1 - \frac{v^2}{c^2}\right)^{-1/2} = \left(1 - \frac{v_x^2 + v_z^2}{c^2}\right)^{-1/2}$$

$$\Rightarrow \frac{v_z^2}{c^2} = 1 - \frac{1}{\gamma^2} - \frac{v_x^2}{c^2} = 1 - \frac{1}{\gamma^2} - \frac{K^2}{\gamma^2} \sin^2 \frac{2\pi}{\lambda_u} z$$

- $K/\gamma \ll 1$ ,  $\sin^2 x = \frac{1}{2}(1 - \cos 2x)$ :

$$\frac{v_z}{c} = 1 - \frac{1}{2\gamma^2} - \frac{K^2}{2\gamma^2} \sin^2 \frac{2\pi}{\lambda_u} z$$

$$= 1 - \frac{1 + K^2/2}{2\gamma^2} + \frac{K^2}{4\gamma^2} \cos 2\frac{2\pi}{\lambda_u} z$$

$$\frac{v_x}{c} = \frac{K}{\gamma} \sin \frac{2\pi}{\lambda_u} z$$

# Undulator: z-Richtung

- Oszillation in z-Richtung mit der doppelten Frequenz

$$\frac{v_z}{c} = 1 - \frac{1 + K^2/2}{2\gamma^2} + \frac{K^2}{4\gamma^2} \cos 2\frac{2\pi}{\lambda_u} z$$

$$\frac{v_x}{c} = \frac{K}{\gamma} \sin \frac{2\pi}{\lambda_u} z$$

- $$\frac{2\pi}{\lambda_u} z \approx \frac{2\pi}{\lambda_u} v_z t \approx \frac{2\pi}{\lambda_u} ct \approx 2\pi\nu_u t \approx \omega_u t$$

# Undulator Energie

## Wellenlänge der Undulator Strahlung $\lambda$

relativistische Längenkontraktion von  $\lambda_u$

$$\lambda = \frac{\lambda_u}{2\gamma^{*2}} (1 + \gamma^{*2}\theta^2) \quad (4)$$

- $v_z$  ist nicht konstant  $\Rightarrow \gamma_* = \left(1 - \frac{v_z^2}{c^2}\right)^{-1/2}$  variiert  $\Rightarrow \lambda$  variiert
- Wie verändert sich  $\gamma^*$  ?
- Berechnung der mittleren Geschwindigkeit  $\bar{v}_z$  im Undulator

$$\bar{v}_z = \frac{L}{T} = \frac{N \cdot \lambda_u}{T} = \frac{L}{\int_0^L dz / v_z}$$



# Undulator Energie

## Wellenlänge der Undulator Strahlung $\lambda$

relativistische Längenkontraktion von  $\lambda_u$

$$\lambda = \frac{\lambda_u}{2\gamma^{*2}} (1 + \gamma^{*2}\theta^2) \quad (4)$$

- $v_z$  ist nicht konstant  $\Rightarrow \gamma_* = \left(1 - \frac{v_z^2}{c^2}\right)^{-1/2}$  variiert  $\Rightarrow \lambda$  variiert
- Wie verändert sich  $\gamma^*$  ?
- Berechnung der mittleren Geschwindigkeit  $\bar{v}_z$  im Undulator

$$\bar{v}_z = \frac{L}{T} = \frac{N \cdot \lambda_u}{T} = \frac{L}{\int_0^L dz/v_z}$$

# Undulator Energie

Lösung:

$$\frac{\bar{v}_z}{c} = 1 - \frac{1 + K^2/2}{2\gamma^2} \Rightarrow \gamma^* := \frac{\gamma}{\sqrt{1 + K^2/2}}$$

Wellenlänge  $\lambda$  der Undulatorstrahlung:

$$\lambda = \frac{\lambda_u}{2\gamma^{*2}} (1 + \gamma^{*2}\theta^2) = \frac{\lambda_u}{2\gamma^2} \left( 1 + \frac{K^2}{2} + \gamma^2\theta^2 \right) \quad (5)$$

- Wellenlängenänderung wird verursacht durch die Änderung von  $v_z$ , die sich aus der Energieerhaltung im Magnetfeld  $B$  ergibt
- $B_u$  verursacht  $v_x$  (und  $v_y$ ) Komponente

# Undulator Bandbreite

- Wellenlänge direkt auf der Strahlachse

$$\lambda = \lambda_0 + \Delta\lambda = \frac{\lambda_u}{2\gamma^{*2}}(1 + \gamma^{*2}\theta^2) \Rightarrow \lambda_0 = \frac{\lambda_u}{2\gamma^{*2}}$$

- Wellenlänge unter dem Winkel  $\theta$

$$\begin{aligned} \Rightarrow \Delta\lambda &= \frac{\lambda_u}{2\gamma^{*2}}\gamma^{*2}\theta^2 \\ \Rightarrow \frac{\Delta\lambda}{\lambda_0} &= \gamma^{*2}\theta^2 \end{aligned}$$

- Winkel  $\theta_{cen}$  des zentralen Kerns der Undulatorstrahlung

$$\theta_{cen} = \frac{1}{\gamma^*\sqrt{N}} = \frac{\sqrt{1 + K^2/2}}{\gamma\sqrt{N}}$$

# Undulator Bandbreite

- Wellenlänge direkt auf der Strahlachse

$$\lambda = \lambda_0 + \Delta\lambda = \frac{\lambda_u}{2\gamma^{*2}}(1 + \gamma^{*2}\theta^2) \Rightarrow \lambda_0 = \frac{\lambda_u}{2\gamma^{*2}}$$

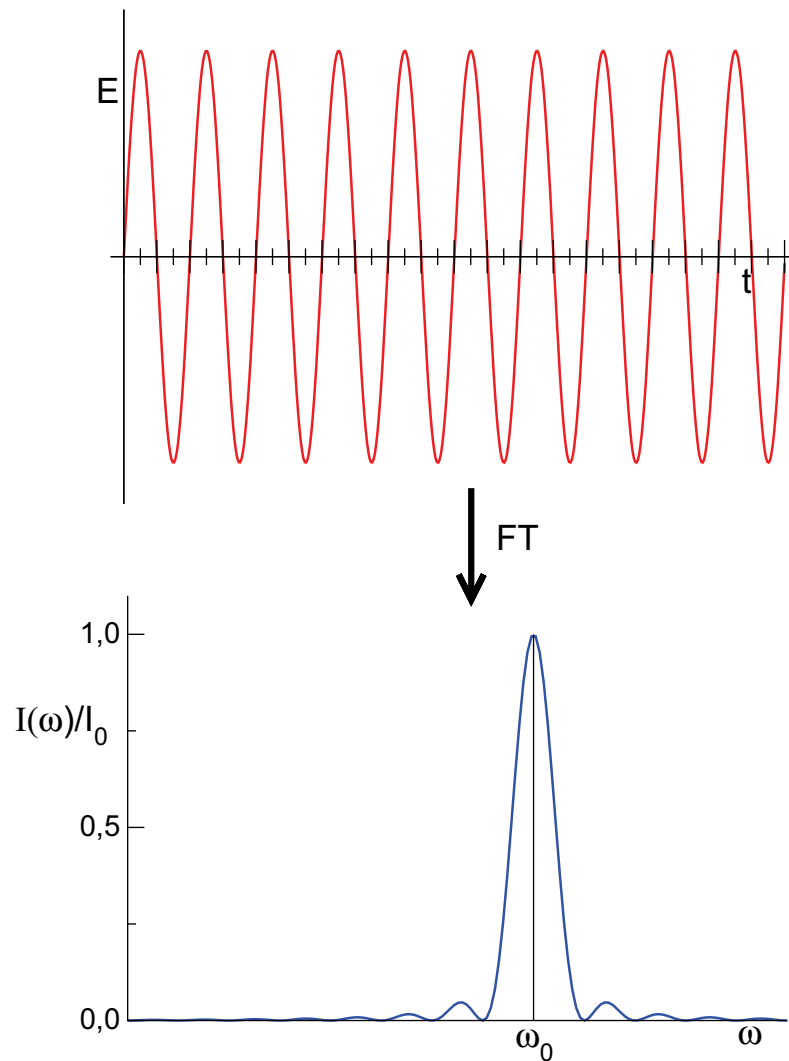
- Wellenlänge unter dem Winkel  $\theta$

$$\begin{aligned} \Rightarrow \Delta\lambda &= \frac{\lambda_u}{2\gamma^{*2}}\gamma^{*2}\theta^2 \\ \Rightarrow \frac{\Delta\lambda}{\lambda_0} &= \gamma^{*2}\theta^2 \end{aligned}$$

- Winkel  $\theta_{cen}$  des zentralen Kerns der Undulatorstrahlung

$$\theta_{cen} = \frac{1}{\gamma^*\sqrt{N}} = \frac{\sqrt{1 + K^2/2}}{\gamma\sqrt{N}}$$

# Undulator Bandbreite

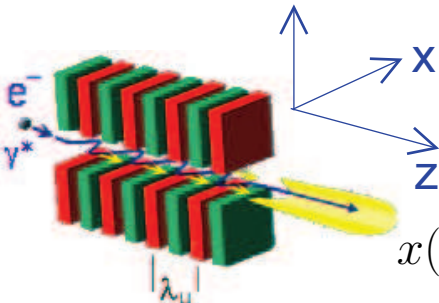


- In einem Undulator mit  $N$  Perioden oszilliert ein Elektron  $N$  mal und erzeugt somit einen entsprechenden Wellenzug. Die Fouriertransformierte dieses Wellenzuges ist eine  $\sin x/x$  Funktion
- Undulator entspricht einem Interferometer mit  $N$ -facher Interferenz. Auflösung:

$$\frac{\Delta\lambda}{\lambda} = \frac{1}{N}$$

$$\frac{I(\omega)}{I_0} = \frac{\sin^2 N\pi\Delta\omega/\omega_0}{(N\pi\Delta\omega/\omega_0)^2}$$

# Labor-System




$x(t) = -\frac{K}{k_u \gamma} \cos \omega_u t$

$v_x(t) = \frac{Kc}{\gamma} \sin \omega_u t$

$v_z(t) = \dots$

$x, z, t$

# Elektronen-System

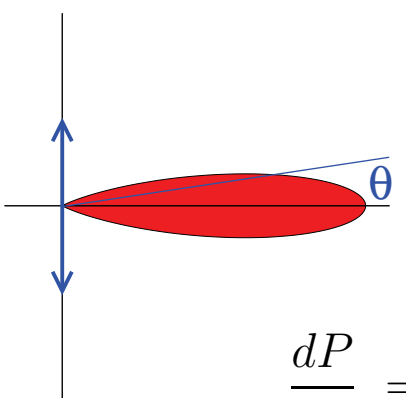


Elektron schwingt in dem mitbewegten System  $x', z', t'$

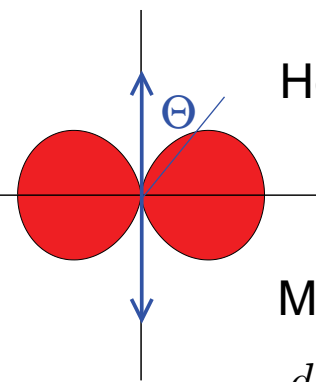
$x'(t) = -\frac{K}{k_u \gamma} \cos \omega'_u t'$

$a'_x(t) = \frac{K \omega'^2_u c}{k_u \gamma} \cos \omega'_u t'$

$= \frac{2\pi c^2 \gamma}{\lambda_u} \frac{K}{1 + K^2/2} \cos \omega'_u t'$



$\frac{dP}{d\Omega} = \frac{8\gamma^{*2}}{(1 + \gamma^{*2}\theta^2)^3} \frac{dP'}{d\Omega'}$



Hertz'scher Dipol

Mittlere Leistung

$\frac{dP'}{d\Omega'} = \frac{e^2 a'^2}{16\pi^2 \epsilon_0 c^3} \sin^2 \Theta$

LT

LT

# Undulator Strahlung

- Mittlere Leistung im Schwerpunktsystem

$$\frac{d\bar{P}'}{d\Omega'} = \frac{e^2 c \gamma^2}{8 \epsilon_0 \lambda_u^2} \frac{K^2}{(1 + K^2/2)^2} \sin^2 \Theta'$$

- Lorentz Transformation zurück in das Laborsystem

$$\frac{dP}{d\Omega} = \frac{8\gamma^{*2}}{(1 + \gamma^{*2}\theta^2)^3} \frac{dP'}{d\Omega'}$$

## Ergebnis für ein einzelnes Elektron

$$\left. \frac{dP}{d\Omega} \right|_e = \frac{e^2 c K^2 \gamma^4}{\epsilon_0 \lambda_u^2 (1 + K^2/2)^3} \left( \frac{1 + 2\gamma^{*2}\theta^2(1 - 2\cos^2\phi) + \gamma^{*4}\theta^4}{(1 + \gamma^{*2}\theta^2)^5} \right) \quad (6)$$

# Undulator Strahlung

- Undulator:  
Inkohärente Überlagerung der Strahlung vieler Elektronen  $N_e$

$$I = evn_l \approx \frac{ecN_e}{L} = \frac{ecN_e}{\lambda_u N} \Rightarrow N_e = \frac{I\lambda_u N}{ec}$$

- 

$$N_e = \frac{I\lambda_u N}{ec}, \quad \frac{dP}{d\Omega} = N_e \cdot \left. \frac{dP}{d\Omega} \right|_e$$

- Strahlung eines Ensembles von  $N_e$  Elektronen ist somit

$$\frac{dP}{d\Omega} = \frac{eN\gamma^4 I}{\epsilon_0 \lambda_u} \frac{K^2}{(1 + K^2/2)^3} \left( \frac{1 + 2\gamma^{*2}\theta^2(1 - 2\cos^2\phi) + \gamma^{*4}\theta^4}{(1 + \gamma^{*2}\theta^2)^5} \right)$$

⇒ Spektrale Leistungsdichte im Kern ist somit  $\propto N^2$ , da  $E/\Delta E = N$  für Undulatoren mit  $K \leq 1$ .



# Undulator

## Vergleich der verschiedenen Quellen

$$\begin{array}{ll} \text{Dipol:} & P \\ \text{Wiggler:} & N \cdot P \\ \text{Undulator:} & N^2 \cdot P \end{array}$$

Beim FEL werden wir sehen, daß für diesen dann

$$N^2 \cdot N_e^2$$

gilt

# Brilliance

- Eine wichtige Größe zur Charakterisierung von Synchrotronstrahlung ist die Brilliance

$$B := \frac{\Delta P}{\Delta A \cdot \Delta \Omega}$$

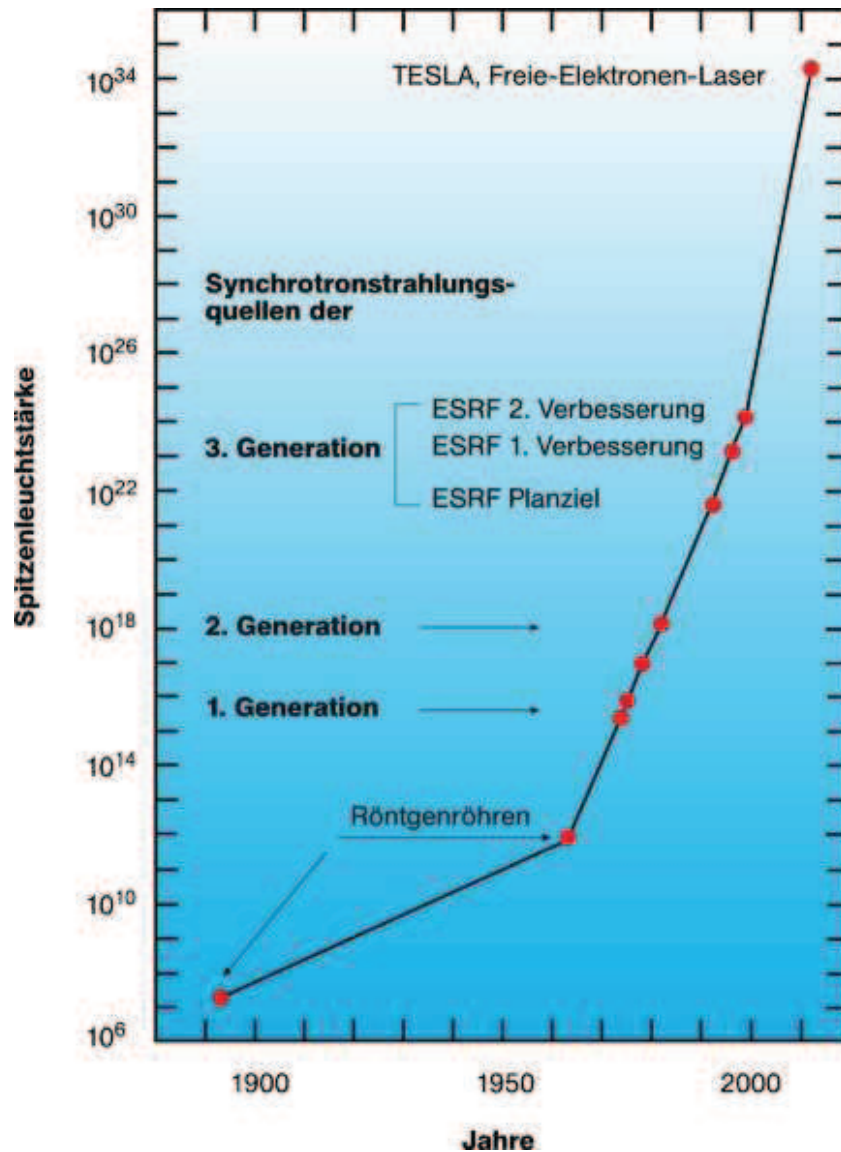
Spektrale Brilliance

$$B_{\Delta\omega/\omega} := \frac{\Delta P}{\Delta A \cdot \Delta \Omega \cdot \Delta\omega/\omega}$$

- Dichte der Photonen im transversalen Phasenraum
- Um eine möglichst hohe Photonendichte am Ort des Experimentes zu erreichen, muß die Brilliance so groß wie möglich sein
- Größtmöglich Brilliance → Laser
- Einheit

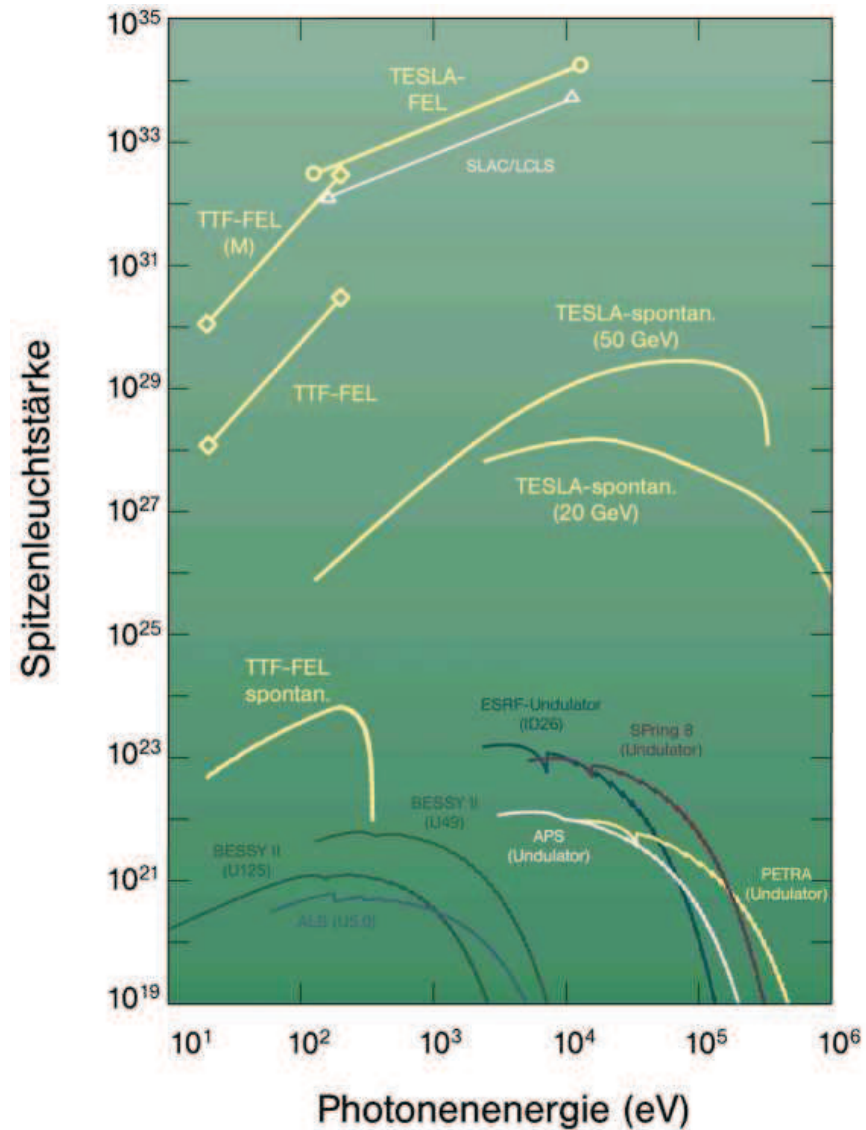
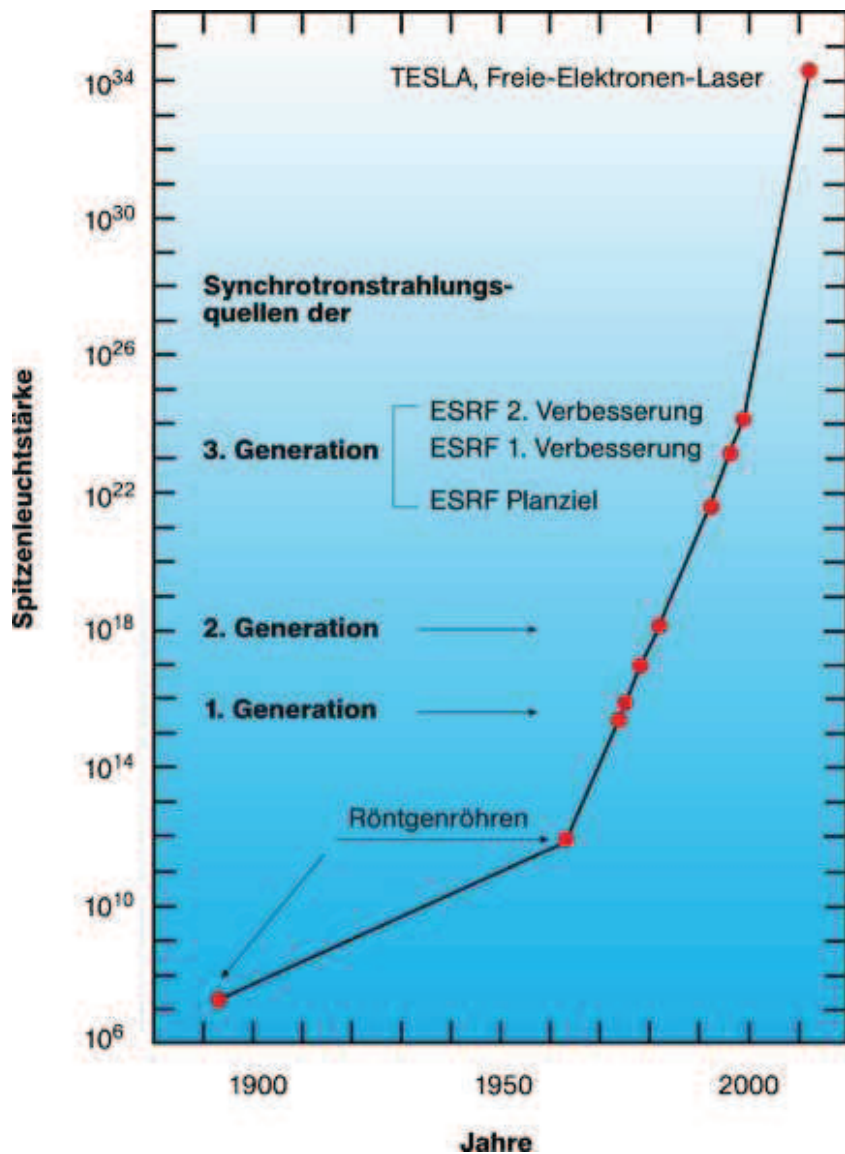
$$[B_{\Delta\omega/\omega}] = \frac{\text{Photonen}}{s \cdot \text{mm}^2 \cdot \text{mrad}^2 \cdot 0.1\% \text{BW}}$$

# Brilliance

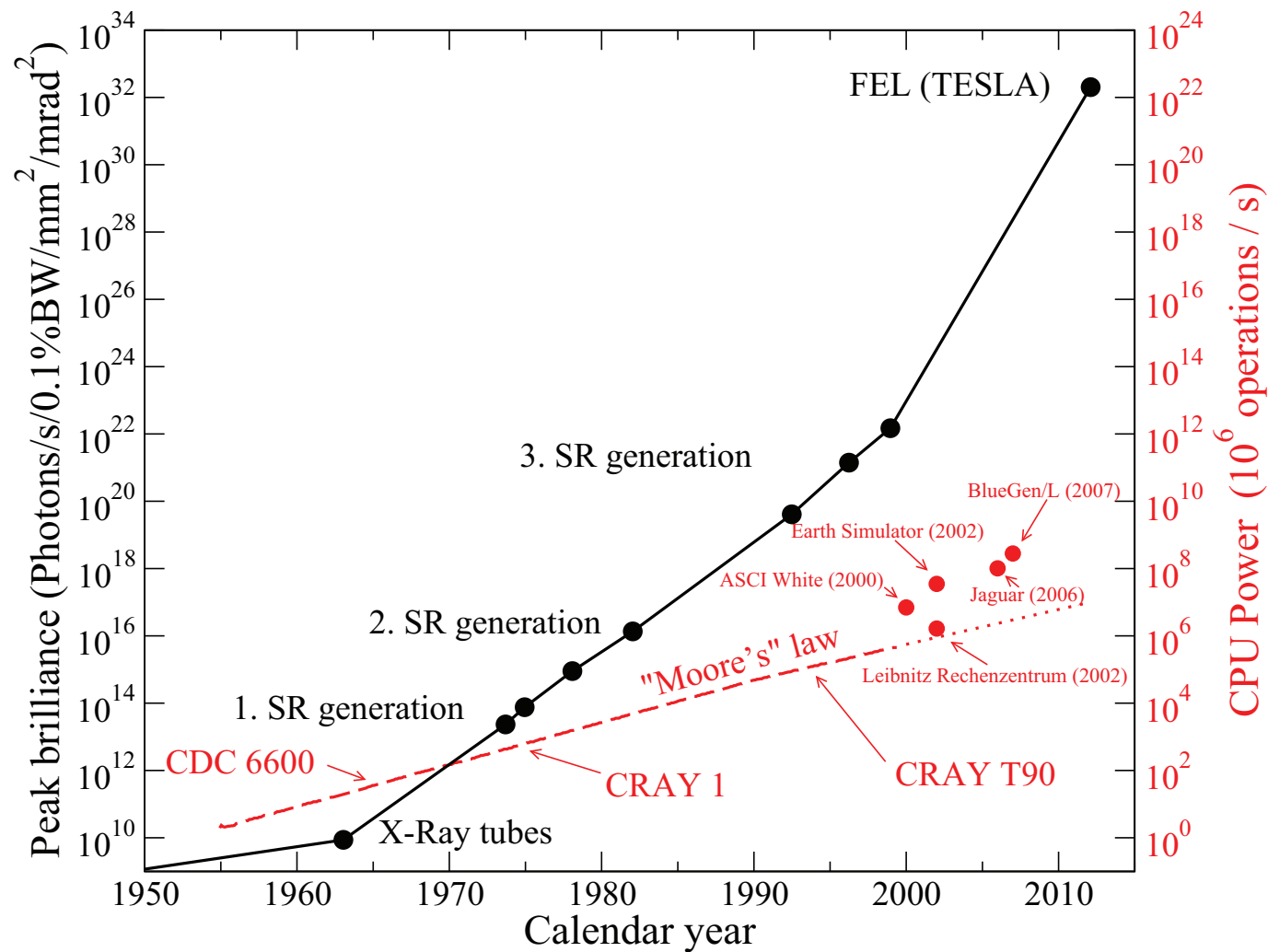


- Entwicklung der Brillianz verschiedener Röntgenquellen mit der Zeit

# Brilliance

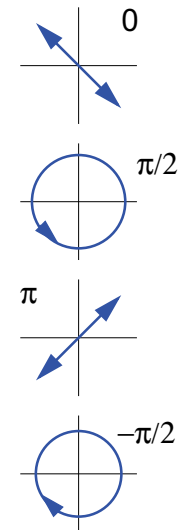
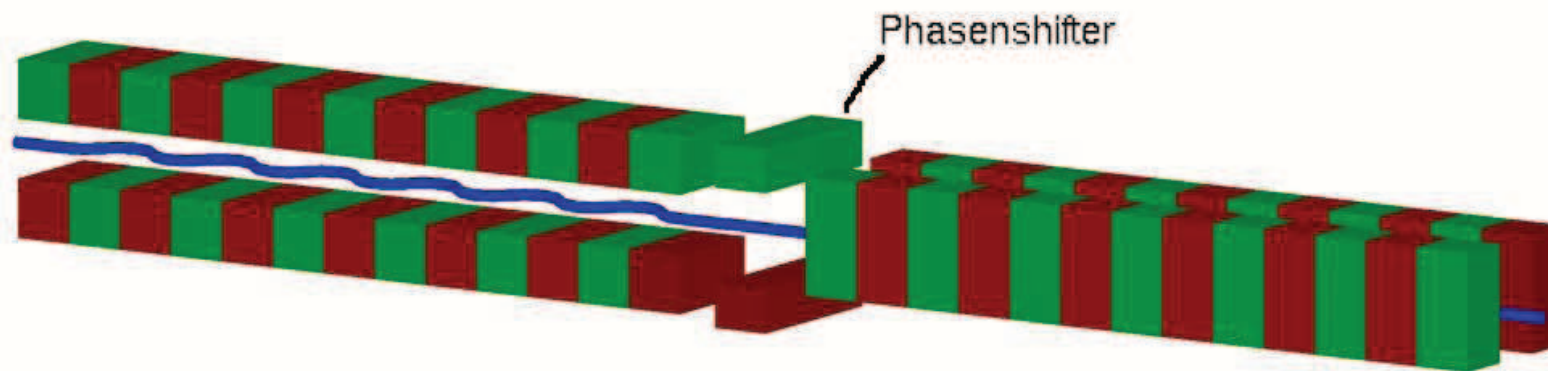


# Brilliance



# Undulator Polarisation

- Undulator Strahlung ist **linear** polarisiert.
- Erzeugung zirkular polarisierter Strahlung



- Gekreuzte Undulatoren
- Die senkrecht zueinander polarisierte Strahlung der beiden Teil-Undulatoren kann durch eine Variation der Phase von Elektronenstrahl und Licht zu elliptisch polarisiertem Licht addiert werden.

# Undulator Polarisation

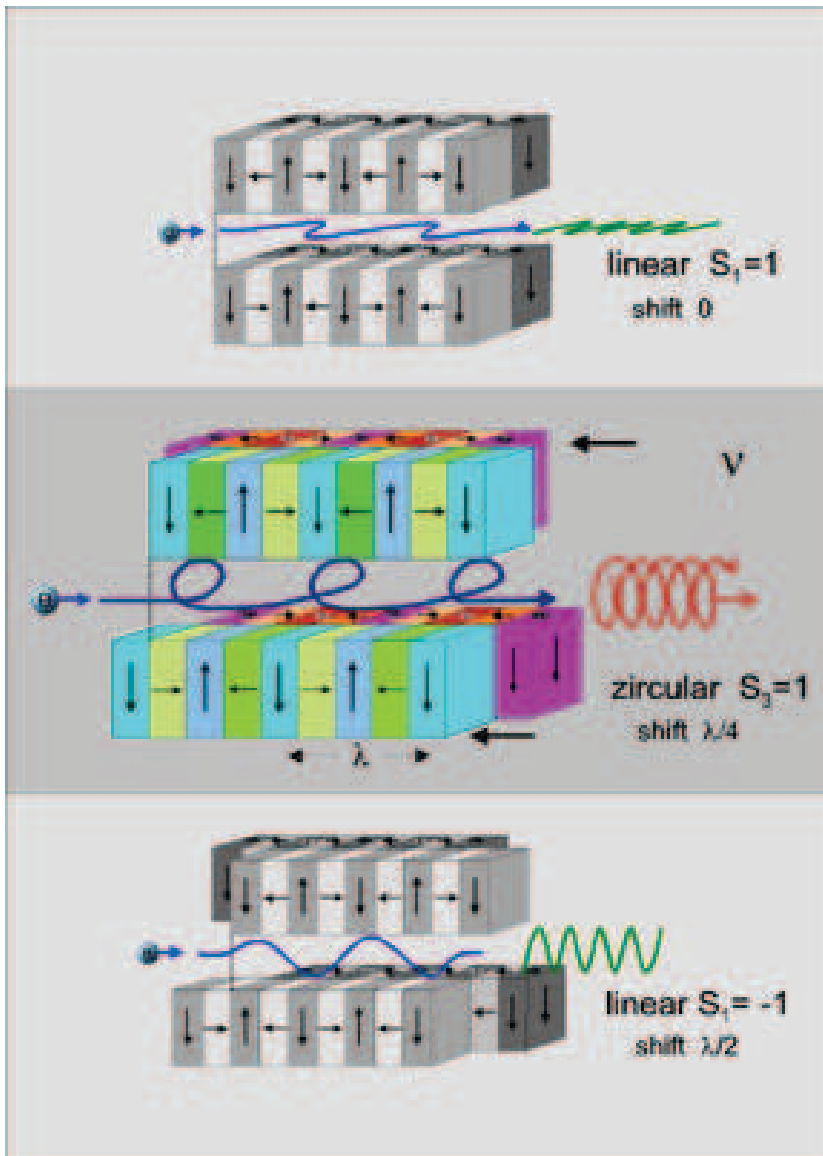
- Undulator Strahlung ist **linear** polarisiert.
- Sasaki-Type Undulator (Helicale undulator)  
“Aufschneiden” eines Undulators der Länge nach und verschieben der Komponenten gegeneinander.

- Magnetfeld

$$\vec{B}_U = \vec{e}_x B_U \cos k_U z - \vec{e}_y B_U \sin k_U z$$

- Elektronen bewegen sich dann auf einer Spiralbahn (Helix) durch den Undulator und erzeugen direkt ellipisch polarisiertes Licht (EPU – Elliptical polarised undulator)
- $v_z$ -Komponente bleibt bei einer rein zirkularen Bahn konstant!

# Undulator Polarisation

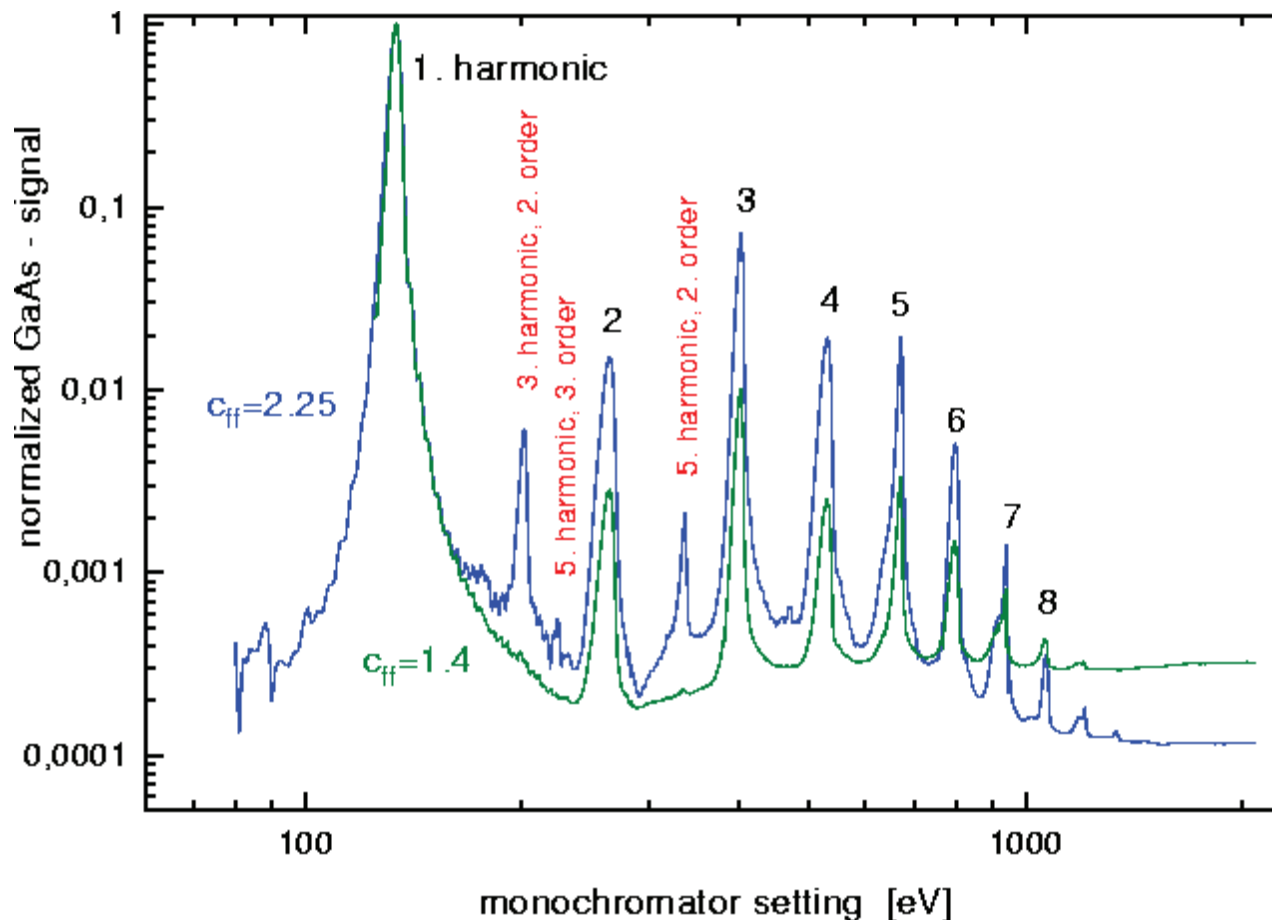


## Sasaki Undulator

Durch schieben der Magnetenstrukturen gegeneinander können fast beliebige Polarisationen erzeugt werden.



# Undulator Harmonische



- Neben der Fundamentalenergie werden auch höhere Harmonische der Undulatorstrahlung beobachtet
- Gerade Harmonische haben eine andere Charakteristik
- Warum ?

# Undulator Harmonische

- Früheres Ergebnis für die Geschwindigkeiten:

$$v_z = c \left( 1 - \frac{1 + K^2/2}{2\gamma^2} - \frac{K^2}{4\gamma^2} \cos 2k_u z \right)$$

$$v_x = \frac{cK}{\gamma} \sin k_u z$$

- Integration und Transformation in das  $x', z', t'$ -System

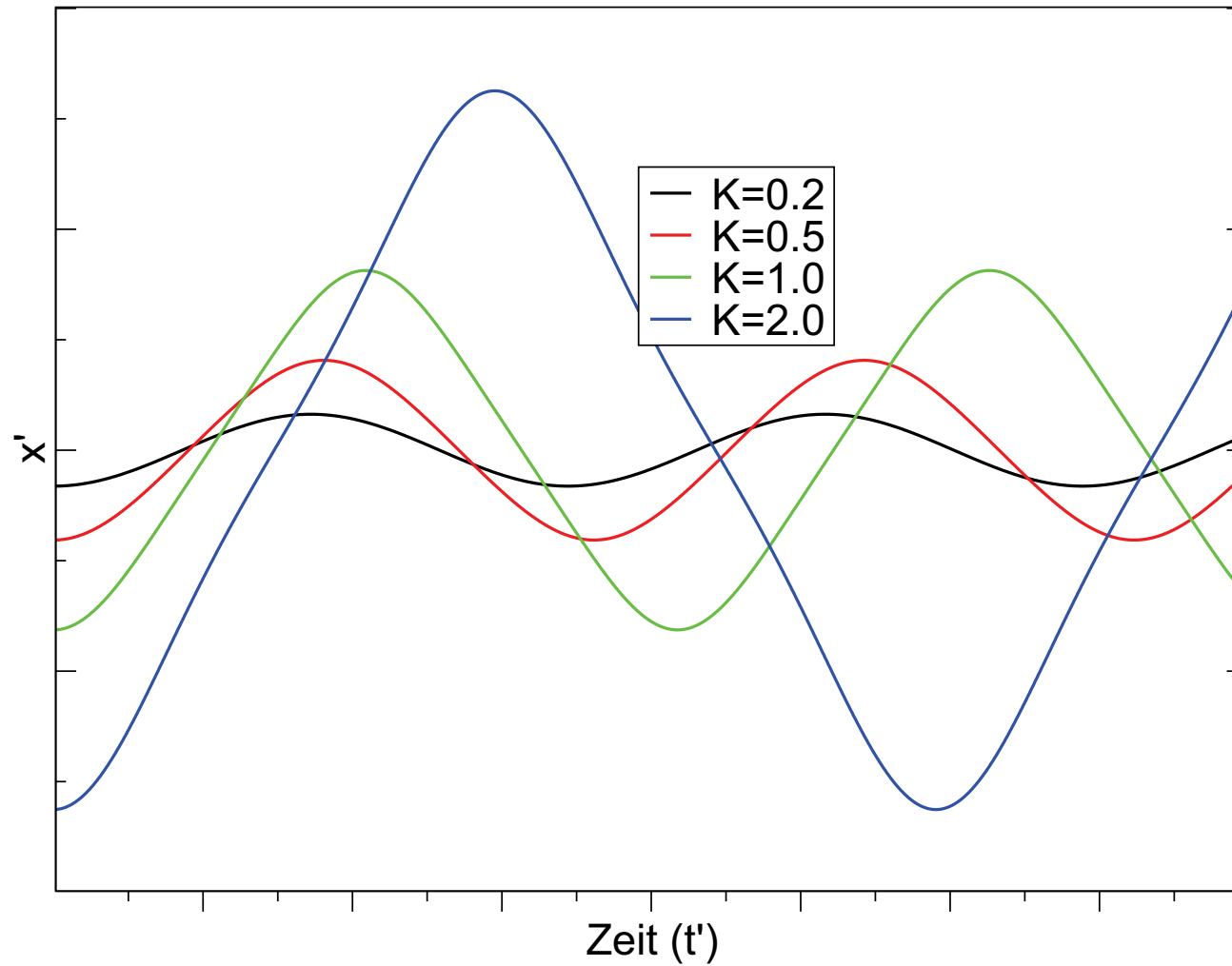
$$z'(t') = \frac{K^{*2}}{8k'_u} \sin(\omega'_u t' + 2k'_u z')$$

$$x'(t') = -\frac{K^*}{k'_u} \left( \cos \omega'_u t' \cos(K^{*2}/8 \sin 2\omega'_u t') - \sin \omega'_u t' \sin(K^{*2}/8 \sin 2\omega'_u t') \right)$$

$$K^* = \frac{K}{\sqrt{1 + K^2/2}}, k'_u = \gamma^* \cdot k_u, \omega'_u = \gamma^* \cdot \omega_U, \gamma^* = \frac{\gamma}{\sqrt{1 + K^2/2}}$$

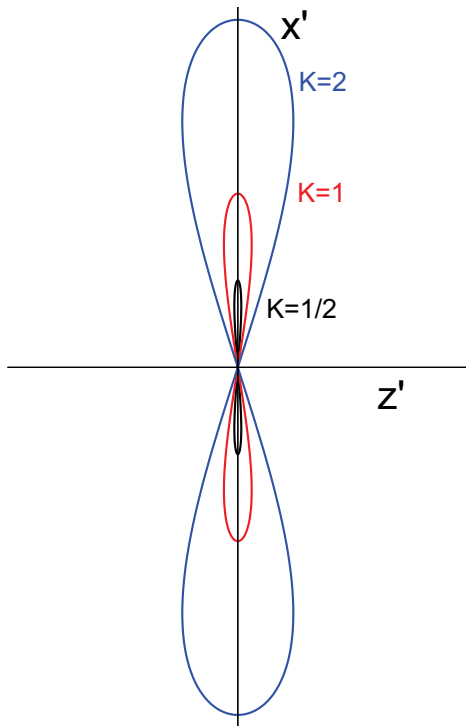
- Anharmonische Bewegung für große  $K$

# Undulator Harmonische



# Undulator Harmonische

- Früheres Ergebnis für die Geschwindigkeiten in einem planaren Undulator:



$$v_z = c \left( 1 - \frac{1 + K^2/2}{2\gamma^2} - \frac{K^2}{4\gamma^2} \cos 2k_u z \right)$$

$$v_x = \frac{cK}{\gamma} \sin k_u z$$

- Beschränkung auf die Bewegung in den kleinsten Harmonischen

$$\frac{x'(t')}{\lambda'_u} = -\frac{K}{2\pi} \cos \omega'_u t'$$

$$\frac{z'(t')}{\lambda'_u} = -\frac{K^2}{16\pi} \sin 2\omega'_u t'$$

Im  $x', z', t'$ -System entspricht diese Bewegung einer 8

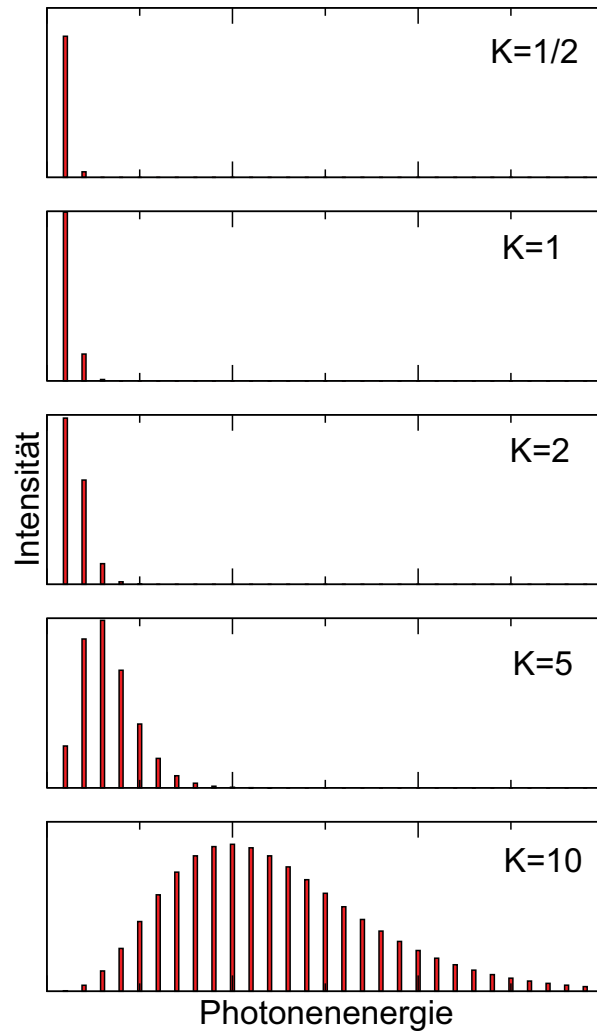
# Undulator Harmonische

## Undulator



- Gerade Ordnungen sind nicht in der richtigen Phase mit dem Undulator Feld
- Keine geraden Ordnungen in der  $x'$ -Richtung
- Eine EPU erzeugt **keine** höheren Ordnungen, da die  $v_z$ -Komponente konstant ist

# Undulator – Wiggler



- Übergang vom Undulator zum Wignlerspektrum
- Abgestrahlte Leistung in den höheren Harmonischen

$$\frac{dP'}{d\Omega'} \propto n^4 K^{*2n}$$

- Starke Zunahme der Intensität in den höheren Ordnungen für großes  $K$

# Take Home Message – Insertion Devices

- Insertion Devices sind Multipol-Magnetstruktur die in gerade Segmente eines Speicherringes eingebaut werden.
- Durch Kohärente Überlagerung der SR eines Elektrons wird die Strahlung um den Faktor  $N^2$  intensiver.
- Ein Undulator Spektrum besteht aus verschiedenen Harmonischen mit Breite  $E/\Delta E \approx N$ .
- Die Wellenlänge der 1. Harmonischen ergibt sich aus der Lorentz-Transformation der Undulatorwellenlänge.
- Die Wellenlänge der Undulatorstrahlung kann durch Variation des Gap's geändert werden.